

齿轮—转子—轴承系统弯扭耦合振动的新模型

夏伯乾*

(郑州工业大学机械系)

虞烈

谢友柏

(西安交通大学润滑理论与轴承研究所)

摘要: 本文指出了目前文献中齿轮—转子—轴承系统弯扭耦合振动数学模型的不足, 通过计入齿轮啮合线瞬时位置的变化对动态啮合力的影响, 建立了新的弯扭耦合模型, 在此基础上给出了系统弯扭耦合振动的振动方程组, 更全面地描述了系统的振动特性。

关键词: 齿轮—转子—轴承系统 弯扭耦合振动 数学模型

中图分类号: TH 113

0 引言

图 1 所示的齿轮—转子—轴承系统在压缩机、减速器等机器中广泛存在。这类转子系统, 由于齿轮的作用, 其动力学特性与单根转子—轴承系统或联轴器串联起来的多转子—轴承系统有着根本的不同, 突出特征为系统的振动是弯扭耦合振动。【1】在研究压缩机中齿轮—转子系统时发现, 测得的系统的特征频率只能由齿轮的弯扭耦合分析模型来验证。【2】在处理类似问题时发现, 不稳定的弯曲振动伴随着扭转振动同时发生。虽然针对图 1 所示的系统, 有不少文章发表, 但总的说来, 对这类系统动力学性质的认识还是很不够的。随着现代工业的发展, 齿轮传动的旋转机械越来越向高速度、大功率发展, 系统的稳定性, 振动、噪声等问题越来越突出。要解决这些问题, 就需要对系统的动力学性质有深入的认识, 从系统动力学的观点来确立分析设计的原则和方法。但是, 我国目前齿轮—转子—轴承旋转机械行业, 还都普遍采用的是各转子单独分析设计的方法, 这样设计出来的产品自然存在不少问题。所以, 研究齿轮—转子—轴承系统动力学, 进而为工业实际提供可靠的分析方法和设计准则, 显得十分重要和迫切。

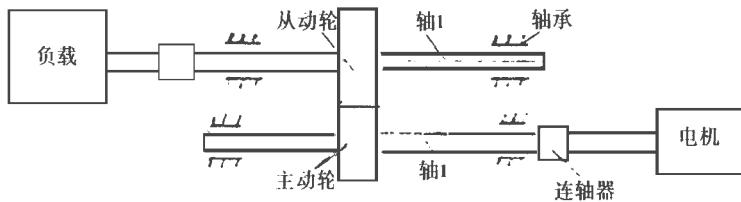


图 1

1 目前文献中常用的齿轮—转子—轴承系统弯扭耦合模型【3】【4】【5】

研究系统的动力学问题, 建立合适的数学模型是第一步。图 1 所示的平行轴系统, 轴与轴之间是通过齿轮联系起来的, 正是由于齿轮的作用, 系统的振动才是弯扭耦合的。所以正确处理系统弯扭耦合关系是处理齿轮—转子—轴承系统弯扭耦合振动问题的关键。

收稿日期: 1996- 04- 17

* 现在西安交大读博士

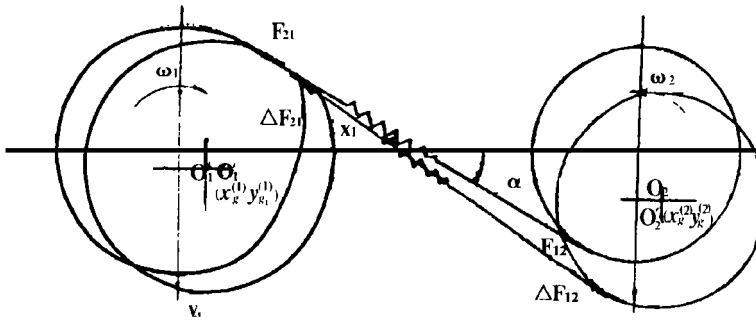


图 2

图 2是目前文献中处理齿轮-转子-轴承系统弯扭耦合振动最常用的模型简图。将齿轮本体视为刚体，轮齿的弹性和齿间阻尼简化为一对弹簧阻尼元件。假定 (1)：齿轮工作过程中不脱啮，始终保持接触。(2)：啮合线方向保持不变。那么，在小扰动下，我们可以自然地得到沿啮合线动态作用力 (本文忽略啮合阻尼)

$$\Delta F_{12} = -\Delta F_{21} = k_c \Delta S = k_c [(r_2 \theta_2^{(2)} - r_1 \theta_1^{(1)}) + (y_q^{(2)} - y_g^{(1)}) \sin \alpha + (x_q^{(2)} - x_g^{(1)}) \cos \alpha] \quad (1)$$

其中 k_c —齿轮平均啮合刚度， ΔS —两齿轮轴心沿啮合线的相对位移，
 r_i ($i=1, 2$)—齿轮基圆半径， $x_g^{(1)}, y_g^{(1)}, x_q^{(2)}, y_q^{(2)}$ —齿轮轴心的弯曲位移，
 $\theta_1^{(1)}, \theta_2^{(2)}$ —齿轮扭转位移， α —齿轮压力角。

上标 '1' 表示主动轴，上标 '2' 表示从动轴，下标 g, q 分别表示主动轮和从动轮所在节点号。

$$\text{动态扭矩} \quad \begin{cases} \Delta T_1 = -\Delta F_{12} r_1 \\ \Delta T_2 = \Delta F_{12} r_2 \end{cases} \quad (2)$$

设 $\Delta F_{xi}, \Delta F_{yi}, \Delta T_i$ ($i=1, 2$) 分别为齿轮啮合力在 x_j, y_j, T_i 方向的广义分力。令

$$A = \begin{bmatrix} \cos^2 \alpha & \sin \alpha \cos \alpha & r_1 \cos \alpha & -\cos^2 \alpha & -\sin \alpha \cos \alpha & -r_2 \cos \alpha \\ & \sin^2 \alpha & r_1 \sin \alpha & -\cos \alpha \sin \alpha & -\sin^2 \alpha & -r_2 \sin \alpha \\ & & r_1^2 & -r_1 \cos \alpha & -r_1 \sin \alpha & -r_1 r_2 \\ & & & \cos^2 \alpha & \sin \alpha \cos \alpha & r_2 \cos \alpha \\ \text{对 称} & & & & \sin^2 \alpha & r_2 \sin \alpha \\ & & & & & r_2^2 \end{bmatrix}$$

$$S = (x_g^{(1)}, y_g^{(1)}, \theta_1^{(1)}, x_q^{(2)}, y_q^{(2)}, \theta_2^{(2)})$$

$$\text{那么 } (\Delta F_{x1} \ \Delta F_{y1} \ \Delta T_1 \ \Delta F_{x2} \ \Delta F_{y2} \ \Delta T_2)^T = k_c A S^T \quad \dots \quad (3)$$

写出各单个轴的弯曲振动方程和扭转振动方程，通过 (3) 式可将整个系统中各转子的弯扭振动方程耦合起来，形成描述系统弯扭耦合振动的微分方程组，式 (3) 即系统弯扭耦合关系的数学模型。

2 弯扭耦合新模型

上节我们在推导弯扭耦合模型时，曾假设“齿轮啮合线的方向不变”。事实上，由于各转子的弯曲振动，两齿轮中心距将不断改变，从而使得啮合线方位也不断改变，即使啮合力大小不变， $\Delta F_{xi}, \Delta F_{yi}$ 也会不断改变，成为转子弯曲振动的一个激励原因。下面，我们将通过计入啮合线瞬时方向的变化对动态啮合力的影响，导出一个新的弯扭耦合模型。

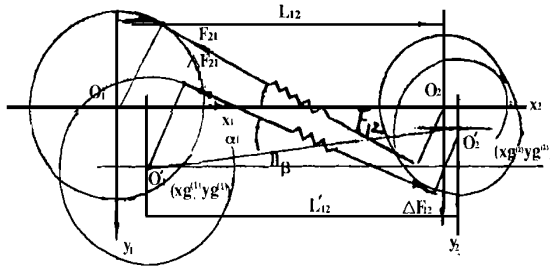


图 3

2.1 转子弯曲振动产生的影响^[5]

在图 3 中, 设轮 1、轮 2 的中心开始时分别位于 O_1 、 O_2 , 中心距为 L_{12} , 转子的弯曲振动使 O_1 移到 O'_1 , O_2 移到 O'_2 , 由此导致:

(1) 中心距从 L_{12} 变为 L'_{12}

$$L_{12} = \sqrt{(L_{12} + x_q^{(3)} - x_g^{(3)})^2 + (y_g^{(3)} - y_q^{(3)})^2} \approx L_{12} + x_q^{(3)} - x_g^{(3)} \quad \dots\dots (4)$$

$$\Delta L = L_{12} - L'_{12} = x_q^{(3)} - x_g^{(3)} \quad \dots\dots (5)$$

(2) 压力角由 α 变为 α'

$$\text{令 } \alpha = \alpha' + \Delta\alpha \text{ 则 } \Delta\alpha \approx -\frac{(r_1 + r_2) \Delta L}{L_{12}^2 \cos \alpha} = -\frac{(r_1 + r_2) (x_q^{(3)} - x_g^{(3)})}{L_{12}^2 \cos \alpha} \quad \dots\dots (6)$$

(3) 中心线与 ox 方向的夹角由 0 变成 β

$$\beta \approx \text{tg} \beta = \frac{y_g^{(3)} - y_q^{(3)}}{L_{12}} \quad \dots\dots (7)$$

啮合线与 ox 方向夹角的变化量 $\Delta\alpha' = \Delta\alpha - \beta \quad \dots\dots (8)$

2.2 对力、力矩变化的描述

当两齿轮轴弯曲振动和扭转振动同时发生时, 动态啮合力的大小、方向将同时产生变化, 两齿轮间的啮合力在 x 、 y 方向的分量及两轮上的力矩分别为

静态时

$$\begin{cases} F_{x1} = -F_{12} \cos \alpha \\ F_{y1} = -F_{12} \sin \alpha \\ T_1 = -F_{12} r_1 \\ F_{x2} = F_{12} \cos \alpha \\ F_{y2} = F_{12} \sin \alpha \\ T_2 = F_{12} r_2 \end{cases} \quad \dots\dots (9)$$

动态时

$$\begin{cases} \Delta F_{x1} = -\Delta F_{12} \cos \alpha + F_{12} \sin \alpha \Delta\alpha' \\ \Delta F_{y1} = -\Delta F_{12} \sin \alpha - F_{12} \cos \alpha \Delta\alpha' \\ \Delta T_1 = -\Delta F_{12} r_1 \\ \Delta F_{x2} = \Delta F_{12} \cos \alpha - F_{12} \sin \alpha \Delta\alpha' \\ \Delta F_{y2} = \Delta F_{12} \sin \alpha + F_{12} \cos \alpha \Delta\alpha' \\ \Delta T_2 = -\Delta F_{12} r_2 \end{cases} \quad \dots\dots (10)$$

其中

F_{12} —法向啮合力, ΔF_{12} 由 (1) 式给出。

将 (10) 表示成矩阵形式:

$$\begin{pmatrix} \Delta F_{x1}, \Delta F_{y1}, \Delta T_1, \Delta F_{x2}, \Delta F_{y2}, \Delta T_2 \end{pmatrix}^T = k_c A S^T + B S^T \quad \dots (11)$$

$$B = \begin{bmatrix} -\frac{F_{12} \sin \alpha \cos \alpha}{L_{12}} & -\frac{F_{12} \sin \alpha}{L_{12}} & 0 & \frac{F_{12} \sin \alpha \cos \alpha}{L_{12}} & \frac{F_{12} \sin \alpha}{L_{12}} & 0 \\ \frac{F_{12} \sin \alpha}{L_{12}} & \frac{F_{12} \cos \alpha}{L_{12}} & 0 & \frac{F_{12} \sin \alpha}{L_{12}} & -\frac{F_{12} \cos \alpha}{L_{12}} & 0 \\ \frac{F_{12} \sin \alpha \cos \alpha}{L_{12}} & \frac{F_{12} \sin \alpha}{L_{12}} & 0 & -\frac{F_{12} \sin \alpha \cos \alpha}{L_{12}} & -\frac{F_{12} \sin \alpha}{L_{12}} & 0 \\ -\frac{F_{12} \sin \alpha}{L_{12}} & -\frac{F_{12} \cos \alpha}{L_{12}} & 0 & \frac{F_{12} \sin \alpha}{L_{12}} & \frac{F_{12} \cos \alpha}{L_{12}} & 0 \\ 0 & 0 & 0 & 0 & 0 & 0 \end{bmatrix}$$

其中

(11) 式是一个新的更全面更精确的弯扭耦合关系, 可以看到, 若忽略啮合线位置变化对 ΔF_{xi} 、 ΔF_{yi} 的影响, (11) 式立刻退化成 (3) 式。

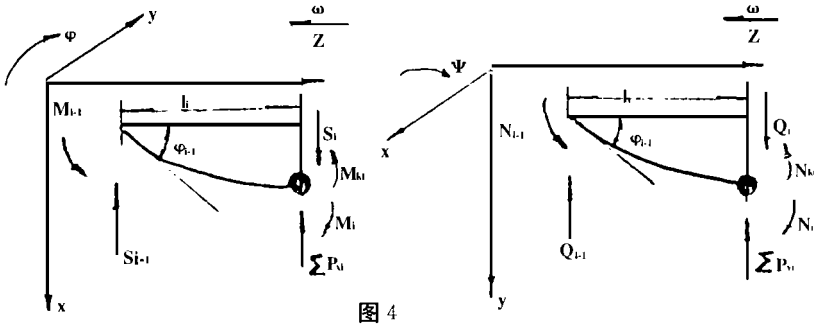


图 4

3 系统的振动方程

将转子按【6】中方法离散成 n 段无质量弹性轴和 $n-1$ 个集总质量。忽略轴承阻尼对扭转振动的影响。

3.1 扭转振动方程【7】

主动轴

$$\begin{cases} I_{Z,1}^{(1)} \ddot{\theta}_1 + k_{c2}^{(1)} \theta_1 - k_{c2}^{(1)} \theta_2 = 0 \\ I_{Z,n-1}^{(1)} \ddot{\theta}_{n-1} - k_n^{(1)} \theta_{n-1} + k_n^{(1)} \theta_n = 0 \\ I_{Z,p}^{(1)} \ddot{\theta}_p + k_p^{(1)} (\theta_p - \theta_{p+1}) + k_p^{(1)} (\theta_p - \theta_{p-1}) = 0 \quad p = 2, 3, \dots, g-1, g+1, \dots, n-2 \end{cases} \quad \dots (12 a)$$

对齿轮所在节点 g ,

$$I_{Z,g}^{(1)} \ddot{\theta}_g - k_g^{(1)} \theta_{g+1} + (k_g^{(1)} + k_{g+1}^{(1)} - r^2 k_c) \theta_g - k_{g+1}^{(1)} \theta_{g+1} + r^2 k_c \theta^2 + k_{cr} \sin \alpha (y_q^{(2)} - y_g^{(1)}) + k_{cr} \cos \alpha (x_q^{(2)} - x_g^{(1)}) = 0 \quad \dots (12 b)$$

从动轴

$$\begin{cases} I_{Z,1}^{(2)} \ddot{\theta}_1 + k_{c2}^{(2)} \theta_1 - k_{c2}^{(2)} \theta_2 = 0 \\ I_{Z,n-1}^{(2)} \ddot{\theta}_{n-1} - k_n^{(2)} \theta_{n-1} + k_n^{(2)} \theta_n = 0 \\ I_{Z,p}^{(2)} \ddot{\theta}_p + k_p^{(2)} (\theta_p - \theta_{p+1}) + k_p^{(2)} (\theta_p - \theta_{p-1}) = 0 \quad p = 2, 3, \dots, g-1, g+1, \dots, n-2 \end{cases} \quad \dots (12 c)$$

对齿轮所在节点 q

$$I_{z,q}^{(3)} \ddot{\theta}^q - k_q^{(3)} \theta_{q+1}^{(3)} + (k_q^{(3)} + k_q^{(2)} - r^2 k_c) \theta^q - k_q^{(2)} \theta_{q+1}^{(2)} + r r k_c \theta^q - k_{cr} \sin \alpha (y_q^{(3)} - y_g^{(1)}) - k_{cr} \cos \alpha (x_q^{(3)} - x_g^{(1)}) = 0 \quad \dots\dots (12 d)$$

$I_{z,p}^{(3)}$ 为第 i 轴上第 p 个集总质量的极转动惯量, $k_p^{(1)}$ 为第 i 轴上第 p 个轴段的扭转刚度。

3.2 轴的弯曲振动方程

一般地, 由图 4 第 i 个轴段在 x 方向有

$$\begin{Bmatrix} x \\ \Phi \\ M \\ S \end{Bmatrix}_R = \begin{bmatrix} 1 & l & \frac{l^2}{2EI} & -\frac{l^3}{6EI} \\ 0 & 1 & \frac{l}{EI} & -\frac{l^2}{2EI} \\ 0 & 0 & 1 & -l \\ 0 & 0 & 0 & 1 \end{bmatrix} \begin{Bmatrix} x \\ \Phi \\ M \\ S \end{Bmatrix}_{i-1} + \begin{Bmatrix} 0 \\ 0 \\ M_k \\ \sum P_x \end{Bmatrix}_i \quad \dots\dots (13 a)$$

同样, y 方向上有

$$\begin{Bmatrix} y \\ \Psi \\ M \\ Q \end{Bmatrix}_R = \begin{bmatrix} 1 & l & \frac{l^2}{2EI} & -\frac{l^3}{6EI} \\ 0 & 1 & \frac{l}{EI} & -\frac{l^2}{2EI} \\ 0 & 0 & 1 & -l \\ 0 & 0 & 0 & 1 \end{bmatrix} \begin{Bmatrix} y \\ \Psi \\ N \\ Q \end{Bmatrix}_{i-1} + \begin{Bmatrix} 0 \\ 0 \\ N_k \\ \sum P_y \end{Bmatrix}_i \quad \dots\dots (13 b)$$

(13 a) 和 (13 b) 中, 上标 R 表示质点的右端面, M 、 N 为轴段所受弯矩, S 、 Q 为轴段所受剪力。其中

$$\begin{Bmatrix} M_k \\ N_k \end{Bmatrix} = \begin{bmatrix} I_d & 0 \\ 0 & I_d \end{bmatrix}_i \begin{Bmatrix} \Phi \\ \Psi \end{Bmatrix}_i + \begin{bmatrix} 0 & -I_z \omega \\ I_z \omega & 0 \end{bmatrix}_i \begin{Bmatrix} \Phi \\ \Psi \end{Bmatrix}_i \quad \dots\dots (13 c)$$

上式第一项为惯性力矩项, 第二项为陀螺力矩项。

$$\begin{Bmatrix} \sum P_x \\ \sum P_y \end{Bmatrix}_i = \begin{bmatrix} m & 0 \\ 0 & m \end{bmatrix}_i \begin{Bmatrix} x \\ y \end{Bmatrix}_i + \begin{bmatrix} d_{xx} & d_{xy} \\ d_{yx} & d_{yy} \end{bmatrix}_i \begin{Bmatrix} \dot{x} \\ \dot{y} \end{Bmatrix}_i + \begin{bmatrix} k_{xx} & k_{xy} \\ k_{yx} & k_{yy} \end{bmatrix}_i \begin{Bmatrix} x \\ y \end{Bmatrix}_i + \begin{Bmatrix} \Delta F_x \\ \Delta F_y \end{Bmatrix}_i \quad \dots\dots (13 d)$$

上式第一项为惯性力, 第二, 三项分别为轴承的阻尼力与弹性力, 第四项为齿轮动态啮合力。令

$$M_j = \begin{bmatrix} m_j & 0 \\ 0 & m_j \end{bmatrix}, \quad M_{\sigma} = \begin{bmatrix} I_{\theta w} & 0 \\ 0 & I_{\theta} \end{bmatrix}, \quad C_{bj} = \begin{bmatrix} d_{xxj} & d_{xyj} \\ d_{yxj} & d_{yyj} \end{bmatrix}; \quad C_{zj} = \begin{bmatrix} 0 & -I_{zj} \\ I_{zj} w^2 & 0 \end{bmatrix}$$

$$K_{bj} = \begin{bmatrix} k_{xxj} & k_{xyj} \\ k_{yxj} & k_{yyj} \end{bmatrix}; \quad I = \begin{bmatrix} 1 & 0 \\ 0 & 1 \end{bmatrix}; \quad X_j = \begin{Bmatrix} x \\ y \end{Bmatrix}_j; \quad \Phi_j = \begin{Bmatrix} \Phi \\ \Psi \end{Bmatrix}_j; \quad D_j = B_j I_j;$$

$$\alpha_i = \frac{12D_i}{L_j^3} \quad \alpha_i = \frac{6D_i}{L_j^2} \quad \alpha_i = \frac{D_i}{L_j}$$

则主动轴的弯曲振动方程为

$$\alpha_i = \frac{6D_i}{l_j^2}; \quad \alpha_i = \frac{D_i}{l_j}$$

则主动轴的弯曲振动方程为

$$\begin{bmatrix} M & 0 \\ 0 & M_R \end{bmatrix}_1 \begin{Bmatrix} X \\ \Phi \end{Bmatrix}_1 + \begin{bmatrix} C_b & 0 \\ 0 & \delta_1 C_Z \end{bmatrix}_1 \begin{Bmatrix} X \\ \Phi \end{Bmatrix}_1 - \left\{ \begin{bmatrix} K_b & 0 \\ 0 & 0 \end{bmatrix}_1 + \begin{bmatrix} \alpha I & \alpha I \\ \alpha I & 4\alpha I \end{bmatrix}_1 \right\} \begin{Bmatrix} X \\ \Phi \end{Bmatrix}_1 - \begin{bmatrix} \alpha I & -\alpha I \\ \alpha I & -2\alpha I \end{bmatrix}_2 \begin{Bmatrix} X \\ \Phi \end{Bmatrix}_2 = 0 \quad \dots\dots (14)$$

$$\begin{bmatrix} M & 0 \\ 0 & M_g \end{bmatrix}_{n-1} \begin{Bmatrix} X \\ \Phi \end{Bmatrix}_{n-1} + \begin{bmatrix} C_b & 0 \\ 0 & \delta_1 C_Z \end{bmatrix}_{n-1} \begin{Bmatrix} X \\ \Phi \end{Bmatrix}_{n-1} - \begin{bmatrix} \alpha I & \alpha I \\ -\alpha I & -2\alpha I \end{bmatrix}_{n-1} \begin{Bmatrix} X \\ \Phi \end{Bmatrix}_{n-1} + \begin{bmatrix} K_b + \alpha I & -2\alpha I \\ -2\alpha I & 4\alpha I \end{bmatrix}_{n-1} \begin{Bmatrix} X \\ \Phi \end{Bmatrix}_{n-1} = 0 \quad \dots\dots (15)$$

齿轮所在节点 g :

$$\begin{bmatrix} M & 0 \\ 0 & M_g \end{bmatrix}_g \begin{Bmatrix} X \\ \Phi \end{Bmatrix}_g + \begin{bmatrix} C_b & 0 \\ 0 & \delta_1 C_Z \end{bmatrix}_g \begin{Bmatrix} X \\ \Phi \end{Bmatrix}_g - \begin{bmatrix} \alpha I & \alpha I \\ -\alpha I & -2\alpha I \end{bmatrix}_g \begin{Bmatrix} X \\ \Phi \end{Bmatrix}_{g-1} + \begin{bmatrix} K_g + \alpha I & -2\alpha I \\ -\alpha I & 4\alpha I \end{bmatrix}_g \begin{Bmatrix} X \\ \Phi \end{Bmatrix}_g + \begin{bmatrix} \alpha I & \alpha I \\ \alpha I & 4\alpha I \end{bmatrix}_{g+1} \begin{Bmatrix} x \\ \Phi \end{Bmatrix}_{g+1} - \begin{bmatrix} \alpha I & -\alpha I \\ \alpha I & -2\alpha I \end{bmatrix}_{g+1} \begin{Bmatrix} x \\ \Phi \end{Bmatrix}_{g+1} + \delta_2 \begin{bmatrix} \Delta F_x \\ \Delta F_y \\ 0 \\ 0 \end{bmatrix}_g = 0 \quad \dots\dots (16)$$

其中 $\delta_1 = 1, \delta_2 = 1$ 。

$$\begin{bmatrix} \Delta F_x \\ \Delta F_y \end{bmatrix} = \begin{bmatrix} K_c \cos^2 \alpha + \frac{F_{12} \sin \alpha \cos \alpha}{L_{12}} - k_{cr} \cos \alpha \\ K_c \sin^2 \alpha + \frac{F_{12} \sin \alpha \cos \alpha}{L_{12}} - k_{cr} \sin \alpha \end{bmatrix} \cdot H$$

$$H = \begin{Bmatrix} x_g^{(1)}, y_g^{(1)}, \theta_g^{(1)}, x_g^{(2)}, y_g^{(2)}, \theta_g^{(2)} \end{Bmatrix}$$

当 $\delta_2 = 0$ 时得到第 i 点 ($i = 2, 3, \dots, g-1, g+1, \dots, n-1$) 的振动方程, 设为 (17) 式。

上面式 (13) ~ (16) 中, 上标 (1) 表示主动轴, 下标 i 表示第 i 个节点, 只须将式 (13) ~ (16) 中上标 (1) 改为 (2), 将 (16) 式中的下标 g 改为 q , 并取 $\delta_1 = \delta_2 = -1$, 就得到从动轴上各点的弯曲振动方程, 设为 (18) 式。

将 (12)、(14) ~ (18) 式联立起来就得到描述 GBR 系统弯扭耦合振动的振动方程组, 最后总可以整理成下面标准形式:

$$MX + CX + KX = 0 \quad \dots\dots (19)$$

M 为总质量阵, C 为总阻尼阵, K 为总刚度阵, X 为

$$\begin{pmatrix} x^{(1)}, y^{(1)}, \Phi^{(1)}, \Psi^{(1)}, \dots, x_n^{(1)}, y_n^{(1)}, \Phi_n^{(1)}, \Psi_n^{(1)}, \theta^{(1)}, \dots, \theta_n^{(1)}, \\ x^{(2)}, y^{(2)}, \Phi^{(2)}, \Psi^{(2)}, \dots, x_n^{(2)}, y_n^{(2)}, \Phi_n^{(2)}, \Psi_n^{(2)}, \theta^{(2)}, \dots, \theta_n^{(2)} \end{pmatrix}^T$$

求 (19) 式的特征值就可得到系统稳定性、阻尼固有频率等振动特性。

4 总结

(1) 通过计入齿轮瞬时啮合线位置的变化对动态啮合力的影响, 建立了一个新的齿轮—转子—轴承系统弯扭耦合振动模型。以前文献中的模型只是本文新模型的特例。

(2) 给出了新模型基础上的齿轮—转子—轴承系统弯扭耦合振动方程组。

(3) 通过求解本文给出的弯扭耦合振动方程组, 可望对系统的振动特性有更深刻、更全面的认识, 具体的数值结果及分析将另文发表。

参 考 文 献

- 1 Iannuzzelli, R. J., Elward, R. M., "Torsional Lateral Coupling in Geared Rotors", ASME, No. 84, 84-GT-71.
- 2 Wachel, J. D., Szerasi, F. R., "Field Verification of Lateral Torsional Coupling Effects on Rotor Instabilities in Centrifugal Compressors", NASA conference Publication, No. 2147, 1980.
- 3 马红, 《齿轮-轴承-转子系统弯扭耦合振动特性研究》: [硕士学位论文], 西安交通大学, 1993.
- 4 Takuzo Iwatsubo, Shirou Arii, et al., "Coupled Lateral torsional Vibration of Rotor System Trained by Gears", Bulletin of JSME, Vol. 27, No. 224 Feb. 1984.
- 5 虞烈, "齿轮啮合的多平行轴系统弯扭耦合振动", 西安交通大学科技报告, 1994, 5.
- 6 钟一镗, 何衍宗, 王正, 《转子动力学》, 清华大学出版社, 1987.
- 7 朱勤, "齿轮-滑动轴承-转子系统耦合振动及轴向瞬态冲击过程的研究", [博士学位论文], 西安交通大学, 1993, 11.

A New Model of Gear-Rotor-Bearing System Lateral-Torsional Coupling Vibration

Xia Boqian

(Zhengzhou University of Technology)

Yu Lie Xie Youbo

(Institute of Lubrication Theory and Bearing·Xi'an Jiaotong University)

Abstract Changing of position of meshing line to dynamic meshing force is considered. Base on this model, a group of differential equations of Lateral torsional coupling vibration of GRBS were proposed, which describe vibration properties of GRBS more comprehensively.

Keywords gear rotor bearing system lateral torsional coupling vibration mathematical model